

Ротор и дивергенция

Волченко Ю.М.

Содержание лекции

Интегральные теоремы векторного анализа. Формула Грина для связной и многосвязной области. Формула Стокса. Ротор. Его инвариантное определение и вычисление. Формула Остроградского. Дивергенция. Ее инвариантное определение и вычисление.

Анимация превращения односвязной области в многосвязную.

Анимация работает только в программе Acrobat Reader!

Вычисление локальных характеристик поля в системе *Mathematica*.

23 июля 2015 г.

Нам предстоит рассмотреть и доказать несколько формул, имеющих важное значение для теории векторных полей, в частности, для теории электромагнитного поля. Из этих формул, как из шкатулки волшебника, вдруг появляются новые понятия, например, ротора и дивергенции, без которых сегодня невозможно представить львиную долю рассуждений в любых прикладных областях векторного анализа. Формулы Грина, Стокса и Остроградского, а это о них идет речь, имеют и практическое значение, часто облегчая расчет векторных полей.

1 Формула Грина

Формула Грина связывает циркуляцию плоского векторного поля

$$\mathbf{F} = F_1 \mathbf{i} + F_2 \mathbf{j}$$

по контуру \mathcal{L}^+ , ограничивающему некоторую плоскую область D , с двойным интегралом по этой области:

$$\text{Ц} = \int_{\mathcal{L}^+} \mathbf{F} \, d\mathbf{r} = \iint_D \left(\frac{\partial F_2}{\partial x} - \frac{\partial F_1}{\partial y} \right) dx \, dy. \quad (1)$$

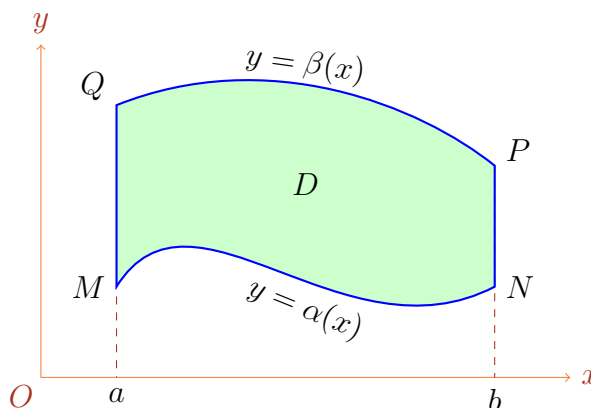


Рис. 1.

В Приложении¹⁾ доказательство этой формулы приведено для области, изображенной на рис. 1, причем, $\mathcal{L}^+ = \mathcal{MNPQM}$.

Формула Грина показывает, что вычисление двойного интеграла по некоторой области может быть сведено к вычислению криволинейного интеграла по границе этой области.

Эта формула справедлива и для более общих областей D , чем рассмотренная. Каких же именно? Для этого введем новые понятия.

Область D называется **связной**, или **односвязной**, если любой лежащий в ней контур γ ограничивает область D_γ , целиком принадлежащую области D . В противном случае область называется **многосвязной**. Односвязная область изображена на рис. 2, а многосвязная — на рис. 3. Границей ∂D многосвязной области является объединение кривых $\partial D = \Gamma + \gamma_1 + \dots + \gamma_n$. На рис. 3 показана и положительная ориентация такой границы: внешняя часть границы проходится против часовой стрелки, а ее внутренние части — в противоположном направлении, так как только в этом случае область D будет при обходе оставаться слева.

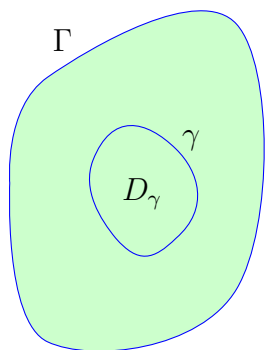


Рис. 2. Связная (односвязная) область.

Рис. 3. Многосвязная область.

Представляет интерес степень связности области, которая определяется с помощью разрезов. **Разрезом** какой-либо области по данной кусочно-гладкой кривой, лежащей в этой области, назовем удаление из области точек этой кривой. Область называется **n -связной**, если минимальное число разрезов, которое необходимо провести в области для того, чтобы она стала односвязной, равно $n - 1$. Щелкнув мышкой на рис. 3 можно увидеть как разрезы (прямые красного цвета) превращают многосвязную область в односвязную.

Теперь можно сформулировать утверждения, обосновывающие справедливость формулы Грина.

Теорема 1. *Формула Грина справедлива для связной области D , ограниченной кусочно гладким контуром, и векторного поля, компоненты которого непрерывны вместе со своими частными производными $\partial F_1/\partial y$ и $\partial F_2/\partial x$.*

Теорема 2. *Формула Грина остается справедливой и для многосвязной области с границей*

$$\partial D^+ = \Gamma^+ + \gamma_1^+ + \dots + \gamma_n^+,$$

где Γ – внешняя граница области, а $\gamma_1, \dots, \gamma_n$ – ее внутренние границы, при условии выполнения остальных предположений предыдущей теоремы.

Доказательство. Соединим каждый внутренний контур многосвязной области гладким разрезом с внешним контуром (см. рис. 3 с разрезами), после чего область станет односвязной. Обозначим l_i^+ проход от внешнего контура по разрезу к контуру γ_i , а в противоположном направлении – l_i^- , $i = \overline{1, n}$. Тогда границу полученной односвязной области можно представить в виде

$$\partial D^+ = \Gamma^+ + \sum_{i=1}^n (l_i^+ + \gamma_i^+ + l_i^-) = \Gamma^+ + \sum_{i=1}^n \gamma_i^+ + \sum_{i=1}^n (l_i^+ + l_i^-).$$

Обозначим $\mathcal{L}^+ = \sum_{i=1}^n \gamma_i^+$. Используя формулу Грина для односвязной области, запишем циркуляцию:

$$\text{Ц} = \int_{\partial D^+} \mathbf{F} d\mathbf{r} = \int_{\Gamma^+ + \mathcal{L}^+} \mathbf{F} d\mathbf{r} + \sum_{i=1}^n \int_{l_i^+ + l_i^-} \mathbf{F} d\mathbf{r} = \iint_D \left(\frac{\partial F_2}{\partial x} - \frac{\partial F_1}{\partial y} \right) dx dy.$$

Но интегралы по разрезам равны нулю

$$\int_{l_i^+ + l_i^-} \mathbf{F} d\mathbf{r} = \int_{l_i^+} \mathbf{F} d\mathbf{r} + \int_{l_i^-} \mathbf{F} d\mathbf{r} = \int_{l_i^+} \mathbf{F} d\mathbf{r} - \int_{l_i^+} \mathbf{F} d\mathbf{r} = 0,$$

ПОЭТОМУ

$$\Gamma = \int_{\Gamma^+ + \mathcal{L}^+} \mathbf{F} d\mathbf{r} = \iint_D \left(\frac{\partial F_2}{\partial x} - \frac{\partial F_1}{\partial y} \right) dx dy.$$

Замечание 1. Вычисление циркуляции по формуле Грина можно провести без интегрирования, если

$$\frac{\partial F_2}{\partial x} - \frac{\partial F_1}{\partial y} \equiv C = \text{const},$$

так как тогда

$$\Gamma = \int_{\mathcal{L}^+} \mathbf{F} d\mathbf{r} = \iint_D \left(\frac{\partial F_2}{\partial x} - \frac{\partial F_1}{\partial y} \right) dx dy = C \cdot D.$$

Пример 1. Найти циркуляцию векторного поля

$$\mathbf{B} = B_1 \mathbf{i} + B_2 \mathbf{j} = \left(B_0 + \frac{\beta y}{x^2 + y^2} \right) \mathbf{i} - \frac{\beta x}{x^2 + y^2} \mathbf{j},$$

из примера 3 лекции «Работа и циркуляция» по контуру \mathcal{L} , не охватывающему начала координат, используя формулу Грина.

Решение. Данное поле не существует в начале координат, поэтому для применения формулы Грина и требуется, чтобы контур не охватывал эту точку. Найдем частные производные компонент поля:

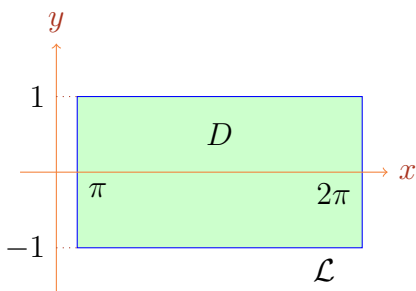
$$\frac{\partial B_2}{\partial x} = -\beta \frac{x^2 + y^2 - 2x^2}{(x^2 + y^2)^2} = \beta \frac{x^2 - y^2}{(x^2 + y^2)^2}, \quad \frac{\partial B_1}{\partial y} = \beta \frac{x^2 + y^2 - 2y^2}{(x^2 + y^2)^2} = \beta \frac{x^2 - y^2}{(x^2 + y^2)^2}.$$

Вычитая эти производные, получим нуль. Следовательно,

$$\Gamma = \int_{\mathcal{L}^+} \mathbf{B} d\mathbf{r} = \iint_D \left(\frac{\partial B_2}{\partial x} - \frac{\partial B_1}{\partial y} \right) dx dy = 0.$$

Таким образом, циркуляция по любому контуру, не охватывающему начало координат, равна нулю. На упомянутой лекции была найдена циркуляция этого поля по окружности с центром в начале координат, и она оказалась ненулевой.

Пример 2. Заряд q с небольшой постоянной скоростью v движется вдоль оси



Oz декартовой системы координат. Создаваемое им в плоскости xOy магнитное поле имеет в момент времени $t = 0$ напряженность

$$\mathbf{H} = H_1 \mathbf{i} + H_2 \mathbf{j} = \frac{qv}{cR^3} (-y \mathbf{i} + x \mathbf{j}),$$

где $R = \sqrt{x^2 + y^2}$, c — скорость света в пустоте. Применяя формулу Грина, найти циркуляцию

\mathbf{H} по контуру \mathcal{L} , образованному линиями $x = \pi$, $x = 2\pi$, $y = -1$, $y = 1$.

Решение. Поскольку $R'_x = x/R$, $R'_y = y/R$, вычисляя частные производные, получим

$$\begin{aligned}\frac{\partial H_2}{\partial x} &= \frac{qv}{c} \cdot \frac{R^3 - 3R^2x^2/R}{R^6} = \frac{qv}{c} \cdot \frac{R^2 - 3x^2}{R^5}, & \frac{\partial H_1}{\partial y} &= -\frac{qv}{c} \cdot \frac{R^2 - 3y^2}{R^5}, \\ \frac{\partial H_2}{\partial x} - \frac{\partial H_1}{\partial y} &= \frac{qv}{c} \cdot \frac{2R^2 - 3(x^2 + y^2)}{R^5} = \frac{qv}{c} \cdot \frac{2R^2 - 3R^2}{R^5} = -\frac{qv}{c} \cdot \frac{1}{R^3}.\end{aligned}$$

Интегрируя по области D (см. рис. 2), придем к повторному интегралу:

$$\Omega = \int_{\mathcal{L}^+} \mathbf{H} d\mathbf{r} = \iint_D \left(\frac{\partial H_2}{\partial x} - \frac{\partial H_1}{\partial y} \right) dx dy = -\frac{qv}{c} \int_{\pi}^{2\pi} dx \int_{-1}^1 \frac{dy}{R^3}.$$

Возьмем внутренний интеграл как интеграл от дифференциального бинома:

$$\begin{aligned}\int \frac{dy}{R^3} &= \int \frac{dy}{(x^2 + y^2)^{3/2}} = \int (x^2 + y^2)^{-3/2} dy = \frac{1}{x^2} \int x^2 y^{-3} (1 + x^2 y^{-2})^{-3/2} dy = \\ &= \langle 1 + x^2 y^{-2} = t^2, -x^2 y^{-3} dy = t dt \rangle = -\frac{1}{x^2} \int t^{-3} t dt = \\ &= \frac{1}{x^2 t} + C = \frac{1}{x^2 \sqrt{1 + x^2 y^{-2}}} + C = \frac{y}{x^2 \sqrt{x^2 + y^2}} + C.\end{aligned}$$

Следовательно,

$$\Omega = -\frac{qv}{c} \int_{\pi}^{2\pi} \frac{y}{x^2 \sqrt{x^2 + y^2}} \Big|_{-1}^1 dx = -\frac{2qv}{c} \int_{\pi}^{2\pi} \frac{dx}{x^2 \sqrt{x^2 + 1}}.$$

Еще раз проэксплуатируем дифференциальный бином:

$$\begin{aligned}\int \frac{dx}{x^2 \sqrt{x^2 + 1}} &= \int x^{-2} (x^2 + 1)^{-1/2} dx = \int x^{-3} (1 + x^{-2})^{-1/2} dx = \\ &= \langle 1 + x^{-2} = t^2, -x^{-3} dx = t dt \rangle = -\int t t^{-1} dt = -\int dt = \\ &= -t + C = -\sqrt{1 + x^{-2}} + C = -\frac{\sqrt{x^2 + 1}}{x} + C.\end{aligned}$$

Окончательно получим

$$\Omega = \frac{2qv}{c} \cdot \frac{\sqrt{x^2 + 1}}{x} \Big|_{\pi}^{2\pi} = \frac{qv}{\pi c} \left(\sqrt{4\pi^2 + 1} - 2\sqrt{\pi^2 + 1} \right).$$

2 Формула Стокса

Пусть $\mathbf{F} = F_1 \mathbf{i} + F_2 \mathbf{j} + F_3 \mathbf{k}$ — векторное поле и σ — поверхность, ориентированная нормалью \mathbf{n} и ограниченная контуром-краем λ , рис. 4.

Введем вектор $\text{rot } \mathbf{F}$, называемый **ротором** векторного поля и записываемый в виде определителя, который затем раскрывается по элементам первой строки:

$$\operatorname{rot} \mathbf{F} = \begin{vmatrix} \mathbf{i} & \mathbf{j} & \mathbf{k} \\ \frac{\partial}{\partial x} & \frac{\partial}{\partial y} & \frac{\partial}{\partial z} \\ F_1 & F_2 & F_3 \end{vmatrix} = \left(\frac{\partial F_3}{\partial y} - \frac{\partial F_2}{\partial z} \right) \mathbf{i} - \left(\frac{\partial F_3}{\partial x} - \frac{\partial F_1}{\partial z} \right) \mathbf{j} + \left(\frac{\partial F_2}{\partial x} - \frac{\partial F_1}{\partial y} \right) \mathbf{k}.$$

Символические частные производные при раскрытии определителя не умножаются на элементы третьей строки, а приписываются к ним спереди.

Формула Стокса

$$\mathcal{C} = \int_{\lambda} \mathbf{F} d\mathbf{r} = \iint_{\sigma} \operatorname{rot} \mathbf{F} \cdot \mathbf{n} d\sigma \quad (2)$$

обобщает формулу Грина на случай трехмерного векторного поля и кривой поверхности и доказывается в Приложении²⁾ для случая, когда поверхность σ однозначно проектируется на одну из координатных плоскостей.

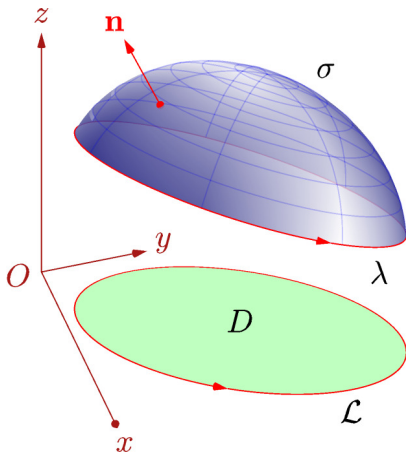


Рис. 4.

Формула Стокса имеет следующую интерпретацию: *циркуляция векторного поля по контуру, ограничивающему ориентированную поверхность, равна потоку ротора через эту поверхность.*

Оператор $\nabla = \left(\frac{\partial}{\partial x}, \frac{\partial}{\partial y}, \frac{\partial}{\partial z} \right)$, введенный ранее[†] и называемый *оператором Гамильтона* или *оператором набла*, позволяет представить ротор в виде

$$\operatorname{rot} \mathbf{F} = \nabla \times \mathbf{F}.$$

Так что формулу (2) можно записать еще двумя способами:

$$\mathcal{C} = \int_{\lambda} \mathbf{F} d\mathbf{r} = \iint_{\sigma} (\nabla \times \mathbf{F}) \cdot \mathbf{n} d\sigma = \iint_{\sigma} (\nabla, \mathbf{F}, \mathbf{n}) d\sigma,$$

где $(\nabla, \mathbf{F}, \mathbf{n})$ — смешанное произведение векторов.

Достаточно общие условия справедливости формулы Стокса дает

Теорема 3. Пусть компоненты векторного поля непрерывны и имеют непрерывные частные производные, а поверхность σ связна, кусочно

[†]Лекция «Скалярное поле».

гладка, ориентирована и допускает разбиение с помощью кусочно гладких кривых на конечное число гладких кусков, однозначно проектирующихся на все три координатные плоскости. Пусть ее край λ кусочно гладок. Тогда справедлива формула Стокса.

Формула Стокса позволяет дать инвариантное определение ротора. Пусть \mathbf{n} — единичный вектор произвольного направления; λ — контур, окружающий некоторую точку M и лежащий в плоскости, перпендикулярной вектору \mathbf{n} ; σ — плоская площадка (поверхность), ограниченная контуром λ и ориентированная с помощью вектора \mathbf{n} , рис. 5. Поскольку для потока, как и для других изученных вами интегралов, справедлива теорема о среднем, то найдется точка $P \in \sigma$ такая, что

$$\iint_{\sigma} \operatorname{rot} \mathbf{F} \cdot \mathbf{n} d\sigma = \sigma \operatorname{rot} \mathbf{F}(P) \mathbf{n}(P) = \int_{\lambda} \mathbf{F} d\mathbf{r},$$

или

$$\operatorname{Pr}_{\mathbf{n}(P)} \operatorname{rot} \mathbf{F}(P) = \frac{\int_{\lambda} \mathbf{F} d\mathbf{r}}{\sigma}.$$

Стягивая контур λ к точке M (при этом точка $P \rightarrow M$), получим, что

$$\operatorname{Pr}_{\mathbf{n}} \operatorname{rot} \mathbf{F}(M) = \lim_{\lambda \rightarrow M} \frac{\int_{\lambda} \mathbf{F} d\mathbf{r}}{\sigma}. \quad (3)$$

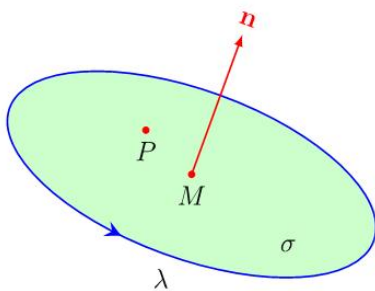


Рис. 5.

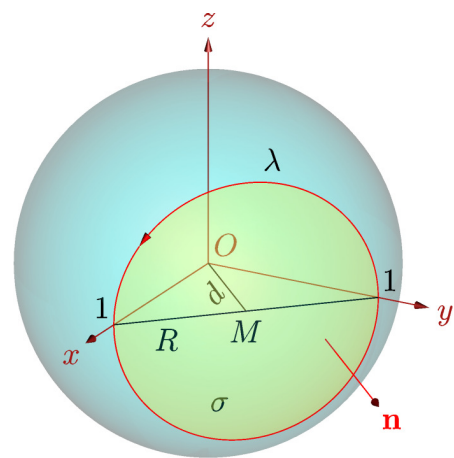


Рис. 6. К примеру 3.

Если правую часть равенства назвать *плотностью циркуляции* (ориентированной вектором \mathbf{n}) векторного поля в точке M , то ротор поля можно определить как *векторное поле, проекция которого на любой единичный вектор в данной точке равна плотности циркуляции поля в этой точке*. Таким образом, равенство (3) дает проекции ротора на любые

три некомпланарных направления, то есть определяет ротор в любой координатной системе.

Из формулы Стокса видно, что при $\text{rot } \mathbf{F} \equiv \mathbf{0}$ циркуляция векторного поля по любому контуру равна нулю.

Если $\text{rot } \mathbf{F} \cdot \mathbf{n} \equiv \text{const}$, то циркуляция равна $\Gamma = \sigma \text{rot } \mathbf{F} \cdot \mathbf{n}$.

Пример 3. Найти циркуляцию векторного поля $F = 2y\mathbf{i} - x\mathbf{j} + y\mathbf{k}$ по контуру $\lambda: x^2 + y^2 + z^2 = 1, x + y = 1$ (рис. 6).

Решение. Чтобы воспользоваться формулой Стокса, возьмем в качестве поверхности σ часть плоскости $x + y = 1$, заключенную внутри контура λ . Выберем направление нормали \mathbf{n} к этой поверхности таким, чтобы она образовывала острые углы с осями Ox и Oy . Так как уравнение σ можно записать в виде $y = g(x, z) = 1 - x$, то единичная нормаль выражается формулой

$$\mathbf{n} = \frac{-g'_x \mathbf{i} + \mathbf{j} - g'_z \mathbf{k}}{\sqrt{1 + g'^2_x + g'^2_z}} = \frac{(1; 1; 0)}{\sqrt{2}}.$$

Найдем ротор векторного поля:

$$\begin{aligned} \text{rot } \mathbf{F} &= \begin{vmatrix} \mathbf{i} & \mathbf{j} & \mathbf{k} \\ \frac{\partial}{\partial x} & \frac{\partial}{\partial y} & \frac{\partial}{\partial z} \\ 2y & -x & y \end{vmatrix} = \left(\frac{\partial y}{\partial y} + \frac{\partial x}{\partial z} \right) \mathbf{i} - \left(\frac{\partial x}{\partial y} - \frac{2\partial y}{\partial z} \right) \mathbf{j} + \left(-\frac{\partial x}{\partial x} - \frac{2\partial y}{\partial y} \right) \mathbf{k} = \\ &= \mathbf{i} - 3\mathbf{k}; \end{aligned}$$

тогда $\text{rot } \mathbf{F} \cdot \mathbf{n} = 1/\sqrt{2}$. По формуле Стокса

$$\Gamma = \iint_{\sigma} \text{rot } \mathbf{F} \cdot \mathbf{n} d\sigma = \frac{\sigma}{\sqrt{2}},$$

но σ — площадь круга радиуса $R = \sqrt{1 - d^2}$, где d — расстояние от точки O до центра круга M . Это расстояние определим по формуле аналитической геометрии

$$d = \frac{|Ax + By + Cz + D|}{\sqrt{A^2 + B^2 + C^2}},$$

где x, y, z — координаты начала координат; A, B, C, D — коэффициенты уравнения плоскости $x + y - 1 = 0$. Получим

$$d = \frac{|1 \cdot 0 + 1 \cdot 0 + 0 \cdot 0 - 1|}{\sqrt{1^2 + 1^2 + 0^2}} = \frac{1}{\sqrt{2}}.$$

Значит, $R^2 = 1 - d^2 = 1 - \frac{1}{2} = \frac{1}{2}$ и тогда циркуляция равна

$$\Gamma = \frac{\sigma}{\sqrt{2}} = \frac{\pi R^2}{\sqrt{2}} = \frac{\pi}{2\sqrt{2}} = \frac{\pi\sqrt{2}}{4}.$$

3 Формула Остроградского

Пусть снова задано векторное поле $\mathbf{F} = F_1 \mathbf{i} + F_2 \mathbf{j} + F_3 \mathbf{k}$ и пусть σ — замкнутая поверхность, ограничивающая объем V и ориентированная своей внешней нормалью \mathbf{n} , рис. 7.

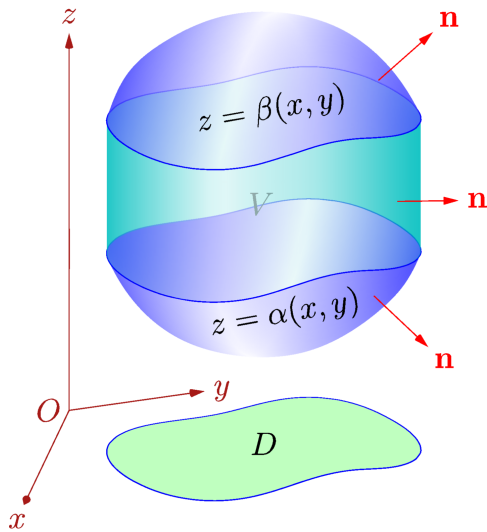


Рис. 7.

Введем скалярную величину

$$\operatorname{div} \mathbf{F} = \frac{\partial F_1}{\partial x} + \frac{\partial F_2}{\partial y} + \frac{\partial F_3}{\partial z} = \nabla \cdot \mathbf{F},$$

называемую **дивергенцией** векторного поля. Она является второй, после ротора, важнейшей локальной характеристикой поля.

При определенных условиях выполняется равенство

$$\Pi = \iint_{\sigma} \mathbf{F} \mathbf{n} d\sigma = \iiint_V \operatorname{div} \mathbf{F} dV, \quad (4)$$

которое носит название **формулы Остроградского**. В сокращенном варианте она гласит, что *поток векторного поля через замкнутую ограниченную поверхность, ориентированную в направлении внешней нормали, равен тройному интегралу от дивергенции поля по объему, который ограничивает поверхность*.

В Приложении³⁾ формула Остроградского доказана для поверхности, изображенной на рис. 7, а более общий случай сформулирован в следующей теореме.

Теорема 4. Пусть векторное поле F имеет компоненты, непрерывные вместе со своими частными производными, а тело V ограничено кусочно гладкой замкнутой поверхностью, ориентированной внешней нормалью. Тогда справедлива формула Остроградского.

Замечание 2. Если условия теоремы нарушаются, то формула Остроградского становится неверной. Например, если вычислить поток через куб с одной выброшенной гранью, мы получим такой же результат, как и для куба с невыброшенной гранью, потому что формула Остроградского дает полный поток через куб (с невыброшенными гранями).

Запишем инвариантное определение дивергенции, которое лучше передает ее смысл. Для этого рассмотрим точку M , расположенную внутри объема V , ограниченного поверхностью σ , а точка M_1 пусть удовлетворяет теореме о среднем для тройного интеграла; тогда формулу Остроградского можно представить в виде

$$\iint_{\sigma} \mathbf{F} \mathbf{n} d\sigma = \operatorname{div} \mathbf{F} (M_1) V,$$

или

$$\operatorname{div} \mathbf{F} (M_1) = \frac{\iint \mathbf{F} \mathbf{n} d\sigma}{V}.$$

Стягивая объем V к точке M (при этом точка $M_1 \rightarrow M$), получим:

$$\operatorname{div} \mathbf{F} (M) = \lim_{V \rightarrow M} \frac{\iint \mathbf{F} \mathbf{n} d\sigma}{V}. \quad (5)$$

Правую часть равенства можно назвать плотностью потока в точке M . Поэтому полученную формулу можно прочитать так: *дивергенция — это плотность потока векторного поля в точке.*

Из формулы Остроградского можно сделать важные выводы.

Если $\operatorname{div} \mathbf{F} \equiv 0$, то $\Pi = 0$.

Если $\operatorname{div} \mathbf{F} \equiv \text{const}$, то $\Pi = V \operatorname{div} \mathbf{F}$.

Для более существенных выводов введем следующие понятия. **Источником** векторных линий называется точка пространства, в которой векторные линии начинаются. **Стоком** называется точка пространства, в которой векторные линии заканчиваются.

Если дивергенция положительна, то из формулы Остроградского можно заключить, что в объеме V мощность источников векторных линий превосходит мощность стоков.

Если дивергенция отрицательна, то стоки мощнее источников.

Если дивергенция равна нулю, то либо в объеме V нет ни источников, ни стоков, либо их мощности одинаковы и тем самым компенсируют друг друга.

Определение (5) характеризует дивергенцию как плотность разности мощностей источников и стоков в точке.

Пример 4. Найти поток векторного поля из примера 2 через ограниченную замкнутую поверхность, если $R = \sqrt{x^2 + y^2 + z^2}$.

Решение. Найдем дивергенцию заданного векторного поля:

$$\begin{aligned} \frac{\partial H_1}{\partial x} &= \frac{qv}{c} \cdot \frac{\frac{3}{2}(x^2 + y^2 + z^2)^{1/2} 2xy}{(x^2 + y^2 + z^2)^3} = \frac{qv}{c} \cdot \frac{3xy}{(x^2 + y^2 + z^2)^{5/2}} = \\ &= \frac{3qv}{c} \cdot \frac{xy}{R^5}, \quad \frac{\partial H_2}{\partial y} = -\frac{3qv}{c} \cdot \frac{xy}{R^5}, \quad \frac{\partial H_2}{\partial z} = 0. \end{aligned}$$

Поскольку сумма этих производных (дивергенция поля) равна нулю, то поток через любую поверхность, не охватывающую начало координат, в котором поле не существует, тоже равен нулю. \square

Познакомившись с тремя основными теоремами векторного анализа, обратим внимание на следующее. Формулу Ньютона-Лейбница для функции $f(x)$

можно записать в виде

$$\int_a^b f'(x) dx = f(b) - f(a)$$

и переосмыслить теперь так, что интегрирование и дифференцирование «погашают» друг друга и в результате вычисление интеграла по отрезку превращается в вычисления на его концах, то есть на его границе, так как для отрезка границей как раз и будут его концы.

Аналогичную ситуацию нам демонстрируют и рассмотренные на лекции теоремы. Интегралы по различным областям (по плоской области, поверхности, телу) превращаются в интегралы по границам этих областей. Что же здесь взаимно «погашается»? Очевидно, что и в данном случае интегрирование (правда, уже многомерное) компенсируется дифференцированием, которое теперь выражается частными производными, ротором или дивергенцией.

Таким образом, формулы Грина, Стокса и Остроградского могут рассматриваться как обобщения на многомерный случай формулы Ньютона-Лейбница, той формулы, на которой покоится вся вычислительная мощь интегрального исчисления.

В Приложении⁴⁾ рассмотрены расчеты векторных полей с помощью их локальных характеристик в системе *Mathematica*.

Приложение

1) Найдем следующий двойной интеграл, переходя от него к определенному интегралу, а от того — к криволинейному:

$$\begin{aligned}
 \iint_D \frac{\partial F_1}{\partial y} dx dy &= \int_a^b dx \int_{\alpha(x)}^{\beta(x)} \frac{\partial F_1}{\partial y} dy = \int_a^b [F_1(x, \beta(x)) - F_1(x, \alpha(x))] dx = \\
 &= - \int_a^b F_1(x, \alpha(x)) dx - \int_b^a F_1(x, \beta(x)) dx = \\
 &= - \int_{MN} F_1(x, y) dx + \underbrace{\int_{NP} F_1(x, y) dx}_0 - \int_{PQ} F_1(x, y) dx + \underbrace{\int_{QM} F_1(x, y) dx}_0 = \\
 &= - \int_{MNPQM} F_1(x, y) dx = - \int_{\mathcal{L}^+} F_1(x, y) dx,
 \end{aligned}$$

где $\mathcal{L}^+ = MNPQM$. Интегралы по вертикальным отрезкам NP и QM равны нулю, так как на этих отрезках $dx = 0$.

Аналогично доказывается, что

$$\iint_D \frac{\partial F_2}{\partial x} dx dy = \int_{\mathcal{L}^+} F_2(x, y) dy.$$

Вычитая из второго равенства первое и учитывая, что

$$\int_{\mathcal{L}^+} F_1 dx + \int_{\mathcal{L}^+} F_2 dy = \int_{\mathcal{L}^+} F_1 dx + F_2 dy = \int_{\mathcal{L}^+} \mathbf{F} d\mathbf{r},$$

где $d\mathbf{r} = (dx, dy)$, приходим к формуле Грина (1).

2) Пусть поверхность σ задана уравнением $z = f(x, y)$; это и означает, что она однозначно проектируется на плоскость xOy . Обозначим эту проекцию D , а ограничивающую ее кривую — \mathcal{L} , см. рис. 4.

Так как кривая λ однозначно проектируется в кривую \mathcal{L} , то значение функции $F_1(x, y, z)$ в точке (x, y, z) на контуре λ равно значению $F_1(x, y, f(x, y))$ в точке (x, y) на контуре \mathcal{L} . Применим формулу Грина к полю $\mathbf{G} = F_1 \mathbf{i} + 0 \mathbf{j} + 0 \mathbf{k}$:

$$\begin{aligned}
 I &= \int_{\lambda} F_1(x, y, z) dx = \int_{\mathcal{L}} F_1(x, y, f(x, y)) dx + 0 dy = \\
 &= - \iint_D \left(\frac{\partial F_1}{\partial y} + \frac{\partial F_1}{\partial z} \cdot \frac{\partial f}{\partial y} \right) dx dy = - \iint_{\sigma} \left(\frac{\partial F_1}{\partial y} + \frac{\partial F_1}{\partial z} \cdot \frac{\partial f}{\partial y} \right) n_3 d\sigma.
 \end{aligned} \tag{П1}$$

Последнее выражение получено в результате перехода от двойного интеграла к потоку[†] для случая, когда поверхность σ однозначно проектируется на плоскость xOy . В данном случае нормаль $\mathbf{n} = (n_1, n_2, n_3)$ выражается формулой

$$\mathbf{n} = \frac{-f'_x \mathbf{i} - f'_y \mathbf{j} + \mathbf{k}}{\sqrt{1 + f_x'^2 + f_y'^2}},$$

[†]Лекция «Поток векторного поля», формула (3).

поэтому $f'_y n_3 = -n_2$. Следовательно,

$$\int_{\lambda} F_1 dx = \iint_{\sigma} \left(\frac{\partial F_1}{\partial z} n_2 - \frac{\partial F_1}{\partial y} n_3 \right) d\sigma.$$

Аналогично получаем

$$\int_{\lambda} F_2 dy = \iint_{\sigma} \left(\frac{\partial F_2}{\partial x} n_3 - \frac{\partial F_2}{\partial z} n_1 \right) d\sigma,$$

$$\int_{\lambda} F_3 dz = \iint_{\sigma} \left(\frac{\partial F_3}{\partial y} n_1 - \frac{\partial F_3}{\partial x} n_2 \right) d\sigma.$$

Складывая полученные равенства, приходим к формуле

$$\int_{\lambda} \mathbf{F} d\mathbf{r} = \iint_{\sigma} \left[\left(\frac{\partial F_3}{\partial y} - \frac{\partial F_2}{\partial z} \right) n_1 - \left(\frac{\partial F_3}{\partial x} - \frac{\partial F_1}{\partial z} \right) n_2 + \left(\frac{\partial F_2}{\partial x} - \frac{\partial F_1}{\partial y} \right) n_3 \right] d\sigma,$$

из которой и следует формула Стокса (2).

3) Пусть поверхность σ ограничена снизу поверхностью $\sigma_1 : z = \alpha(x, y)$, сверху — поверхностью $\sigma_2 : z = \beta(x, y)$, а с боков — цилиндрической поверхностью σ_3 с вертикальной направляющей, см. рис. 7. Нормаль к σ обозначим $\mathbf{n} = (n_1, n_2, n_3)$. Найдем следующий тройной интеграл по области V :

$$\begin{aligned} \iiint_V \frac{\partial F_3}{\partial z} dx dy dz &= \iint_D \left(\int_{\alpha(x,y)}^{\beta(x,y)} \frac{\partial F_3}{\partial z} dz \right) dx dy = \\ &= \iint_D \{ F_3 [x, y, \beta(x, y)] - F_3 [x, y, \alpha(x, y)] \} dx dy = \\ &= \iint_D F_3 [x, y, \beta(x, y)] dx dy - \iint_D F_3 [x, y, \alpha(x, y)] dx dy = \\ &= \iint_{\sigma_1} F_3(x, y, z) n_3 d\sigma + \iint_{\sigma_3} F_3(x, y, z) n_3 d\sigma. \end{aligned}$$

Переход от двойных интегралов к потокам обосновывается так же, как и переход в формуле (П1). Отметим, что минус перед вторым двойным интегралом становится плюсом перед вторым потоком из-за того, что нормаль на нижней стороне поверхности σ_3 образует тупой угол с осью аппликат. Фактически получен полный поток векторного поля $(0, 0, F_3)$ через всю поверхность σ , так как такой поток через цилиндрическую поверхность σ_2 равен нулю в силу того, что нормаль к σ_2 перпендикулярна полю: $(0, 0, F_3) \cdot (n_1, n_2, 0) = 0$. В итоге имеем

$$\iiint_V \frac{\partial F_3}{\partial z} dx dy dz = \iint_{\sigma} F_3(x, y, z) n_3 d\sigma.$$

Точно так же можно показать, что

$$\iiint_V \frac{\partial F_1}{\partial x} dx dy dz = \iint_{\sigma} F_1(x, y, z) n_1 d\sigma,$$

$$\iiint_V \frac{\partial F_2}{\partial y} dx dy dz = \iint_{\sigma} F_2(x, y, z) n_2 d\sigma.$$

Складывая эти три равенства, получаем

$$\iiint_V \left(\frac{\partial F_1}{\partial x} + \frac{\partial F_2}{\partial y} + \frac{\partial F_3}{\partial z} \right) dV = \iint_{\sigma} (F_1 n_1 + F_2 n_2 + F_3 n_3) d\sigma,$$

что и приводит к формуле Остроградского (4).

4) В системе *Mathematica* оператор `Curl[{F1, F2}, {x, y}]` вычисляет ротор

$$\text{rot } \mathbf{F} = \begin{vmatrix} \mathbf{i} & \mathbf{j} & \mathbf{k} \\ \frac{\partial}{\partial x} & \frac{\partial}{\partial y} & \frac{\partial}{\partial z} \\ F_1 & F_2 & 0 \end{vmatrix} = \left(\frac{\partial F_2}{\partial x} - \frac{\partial F_1}{\partial y} \right) \mathbf{k}$$

плоского векторного поля $\mathbf{F} = F_1 \mathbf{i} + F_2 \mathbf{j}$. Понятно, что аргументами оператора являются компоненты векторного поля $\{F_1, F_2\}$ и список переменных $\{x, y\}$.

Для трехмерного поля оператор ротора имеет вид `Curl[{F1, F2, F3}, {x, y, z}]`. Найдем, например, ротор векторного поля $\mathbf{F} = x^2 y \mathbf{i} - 3xz \mathbf{j} + xy z^2 \mathbf{k}$:

$$\text{Curl}[\{x^2 y, -3xz, xy z^2\}, \{x, y, z\}]$$

$$\{3x + xz^2, -yz^2, -x^2 - 3z\}$$

Таким образом, $\text{rot } \mathbf{F} = (3x + xz^2) \mathbf{i} - yz^2 \mathbf{j} - (x^2 + 3z) \mathbf{k}$.

Для удобства ввода оператора `Curl` можно набрать `Esc delx Esc`, после чего появится шаблон $\nabla_{\square} \times \square$, в квадратик-индекс которого надо ввести список переменных, а в большой квадрат — список компонент поля. Предыдущий пример тогда переписывается так:

$$\nabla_{\{x, y, z\}} \times \{x^2 y, -3xz, xy z^2\}$$

$$\{3x + xz^2, -yz^2, -x^2 - 3z\}$$

С помощью системы *Mathematica* можно обнаружить (но не доказать), что ротор градиента всякого скалярного поля равен нулевому вектору:

$$\nabla_{\{x, y, z\}} \times \nabla_{\{x, y, z\}} u[x, y, z]$$

$$\{0, 0, 0\}$$

Дивергенцию поля находит оператор `Div[{F1, F2, F3}, {x, y, z}]`. Например, дивергенция поля, для которого был вычислен ротор, найдется так:

$$\text{Div}[\{x^2 y, -3xz, xy z^2\}, \{x, y, z\}]$$

$$\% // \text{Factor}$$

$$2xy + 2xyz$$

$$2xy(1+z)$$

И для этого оператора существует удобный ввод с помощью `Esc del. Esc`. В шаблоне $\nabla_{\square} \cdot \square$, в квадратик-индекс снова надо ввести список переменных, а в большой квадрат — список компонент поля. Предыдущий пример в этом формате примет вид

$$\nabla_{\{x, y, z\}} \cdot \{x^2 y, -3xz, xy z^2\}$$

$$2xy + 2xyz$$

Теперь можно обнаружить еще один факт: дивергенция ротора всегда равна нулю:

$$\nabla_{\{x,y,z\}} \cdot \nabla_{\{x,y,z\}} \times \{F1[x,y,z], F2[x,y,z], F3[x,y,z]\}$$

$$0$$

В системе *Mathematica* можно решить более сложные задачи, чем рассмотренные на лекции. Для примера 2 изменим ограничения, накладываемые на y : $-\sin x \leq y \leq \sin x$. Точное решение получить не удастся, поэтому найдем приближенное:

$$-\frac{q v}{c} \text{NIntegrate}\left[\frac{1}{(x^2 + y^2)^{3/2}}, \{x, \pi, 2\pi\}, \{y, -\text{Sin}[x], \text{Sin}[x]\}\right]$$

$$\frac{0.0430151 q v}{c}$$

Литература

- [1] Бугров Я.С., Никольский С.М. *Высшая математика. Дифференциальные уравнения. Кратные интегралы. Ряды. Функции комплексного переменного*. – М.: Наука, 1985, – с. 224-229, 245-252, 254-258.
- [2] Письменный Д.Т. *Конспект лекций по высшей математике*. – М.: Рольф, 2000. Ч. 2. – с. 86-87, 103-107, 173-175, 177-179.